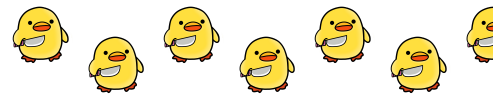




05: Wielomian Jonesa węzłów alternujących



Weronika Jakimowicz

27.03.2024

Spis sznurków

Definicja węzła i linku alternującego	1
Linki rozszczerpione (ang. <i>split</i>) i pierwsze	3
Po co nam to wszystko? Czyli o jeżach (między innymi)	5
Stany diagramu	7
W końcu wielomiany!	11

Definicja węzła i linku alternującego

Mówimy, że diagram regularny D węzła K jest alternujący, jeśli poruszając dowolny punkt $P \in D$ wzdłuż D , ciągle w jedną stronę, będziemy na zmianę pokonywać skrzyżowania górą i dołem.

Definicja : węzeł alternujący.

Węzeł K jest alternujący, jeśli posiada przynajmniej jeden diagram alternujący.

Najprostszy (o najmniejszej liczbie skrzyżowań) węzeł niealternujący to np. 8_{19} (ale też 8_{20} i 8_{21}), który widać na fig. 1. Do pokazania, że naprawdę nie kłamię jeśli chodzi o jego niealternującą naturę, wrócimy niżej.

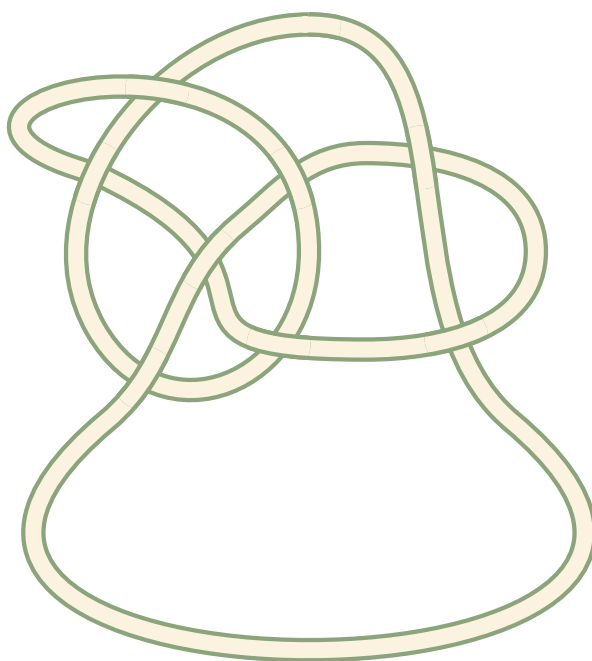


Figure 1: Przykładowy diagram węzła 8_{19} .

Fakt : alternująca suma spójna.

Jeśli K_1 i K_2 są węzłami alternującymi o alternujących diagramach mających odpowiednio n_1 i n_2 skrzyżowań, to ich suma spójna $K_1 \# K_2$ ma diagram alternujący o dokładnie $(n_1 + n_2)$ skrzyżowaniach.

Dowód

Wiemy, że "na zewnątrz" węzła K_1 istnieje segment, pod którym przechodzi dokładnie jeden inny segment. Tak samo w przypadku diagramu K_2 . Mamy dwie opcje, jak widać na fig. 2.

Pierwszy przypadek jest prosty. W drugim pakujemy cały rysunek K_2 w zielony obszar i przyklejamy go w środek diagramu K_1 .

Pierwsza z nich jest raczej oczywista. Druga wymaga zauważenia, że konsekwentnie przyglądając się łuczkom na zewnątrz diagramu po lewej, w końcu przejście "nad" będzie musiało występować na górze. Wtedy wystarczy taki łuczek przeciągnąć nad całym węzłem w przestrzeń pomiędzy węzłami i skorzystać z niego do połączenia K_1 i K_2 tak jak na obrazku na dole fig. 2.

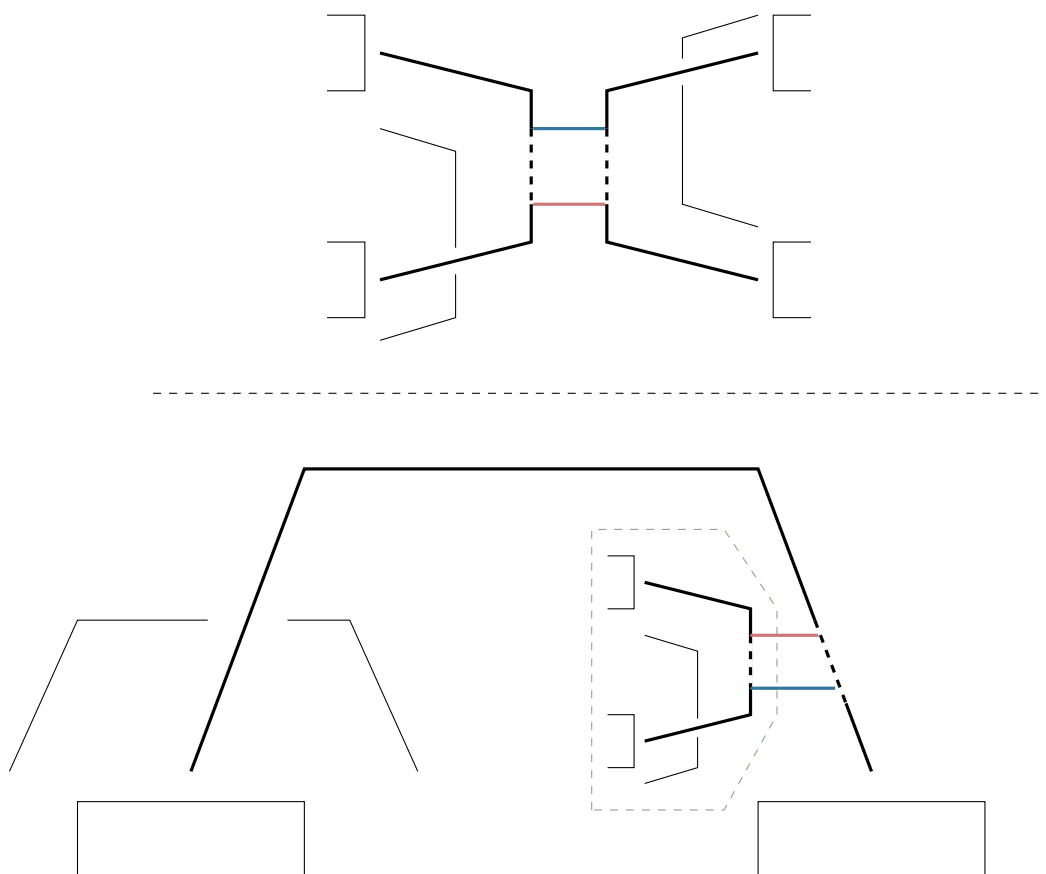


Figure 2: Dwa możliwe ułożenie łuczków na zewnątrz alternujących diagramów K_1 i K_2 . Podziękowania dla Pana Kandybo za drugi przypadek.



Zadanie 1.

Rozważmy węzeł wielokątny K oraz prostą l , wzdłuż której K rzutujemy. Niech K będzie położony w sposób regularny (tzn. co najwyżej dwa punkty mogą leżeć na jednej prostej równoległej do osi rzutu).

Pokaż, że istnieje wówczas węzeł alternujący K' w pozycji regularnej taki, że rzuty wzdłuż l obu węzłów są identyczne. W rzucie nie rozróżniamy który segment w skrzyżowaniu biegnie górą.

Definicja bycia alternującym linkiem jest analogiczna jak bycia alternującym węzłem, więc ją pominiemy. Powiemy natomiast o kilku ciekawych przypuszczeniach i o Szkotach.

Twierdzenie : hipotezy Tait'a.

Chociaż poniższe trzy stwierdzenia nazywają się hipotezami, to zostały udowodnione w 1987 (dwa pierwsze) i 1991 (ostatnie), ale nie przez Tait'a.

1. Dowolny zredukowany diagram alternujący ma najmniejszą możliwą liczbę skrzyżowań.

2. Dowolne dwa zredukowane diagramy alternujące tego samego węzła mają tę samą sumę ważoną skrzyżowań (ang. *writhe*)
3. Dowolne dwa zredukowane alternujące diagramy D_1 i D_2 zorientowanego, pierwszego linku (co to znaczy dowiemy się za chwilę) można przekształcić przy pomocy skończonej liczby ruchów *flype*.

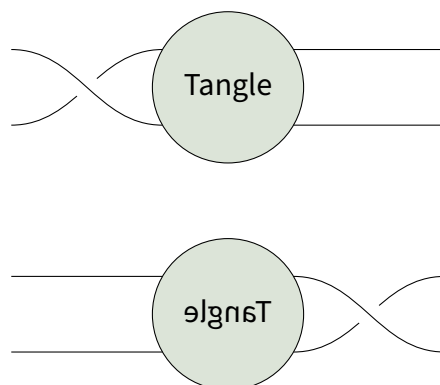


Figure 3: Wywracanie skarpety na lewą stronę, czyli *flype*.

Słowo *flype* pochodzi ze szkockiego i oznacza wywracanie skarpetki na lewą stronę. Chodzi o przeciągnięcie przez kołtun (ang. *tangle*) nitek tak, jak przy wywracaniu skarpet (patrz. fig. 3 lub wikipedia <3>). Kołtun to włożenie n tuczków w S^3 tak, że ich $2n$ końców jest przyklejonych do $2n$ punktów zaznaczonych na granicy S^3 .

Do pierwszego punktu twierdzenia wyżej powrócimy później.

Linki rozszczepione (ang. *split*) i pierwsze

Definicja : link i diagram rozszczepiony.

Powiemy, że **link L** (o co najmniej dwóch komponentach) zanurzony w S^3 jest **rozzszczepiony**, jeśli możemy S^3 podzielić na dwie kule S^2 tak, że każda ma po przynajmniej jednym komponente L .

Definicja ta przenosi się na diagram $D \in S^2$ poprzez spłaszczenie tych sfer S^2 do zamkniętych krzywych. To znaczy, **diagram D jest rozzszczepiony**, jeśli istnieje prosta krzywa zamknięta w $S^2 \setminus D$, która dzieli je na dwa rozłączne dyski, każdy zawierający przynajmniej jeden komponent D .

Link trywialny, czyli $O \cup O$, jest w oczywisty sposób rozzszczepialny.

Link Whitehead'a (patrz fig. 4) nie jest rozzszczepialny. Aby to pokazać, wystarczy zauważyć, że link Whitehead'a składa się z dwóch trywialnych węzłów O . Gdyby więc był rozzszczepialny, to moglibyśmy przekształcić fig. 4 w diagram $O \cup O$, którego wielomian Jonesa wynosi $V(O \cup O) = (-t^{\frac{1}{2}} - t^{-\frac{1}{2}})$. Wielomian Jonesa linku Whitehead'a wynosi natomiast $V(\text{Whitehead}) = t^{-\frac{3}{2}}(-1 + t - 2t^2 + t^3 - 2t^4 + t^5)$. Ewidentnie coś się nie zgadza.

Twierdzenie .

Link L o alternującym diagramie D jest rozzszczepialny $\iff D$ jest rozzszczepialnym diagramem.

Dowód

W książce Pana Lickorisha p.t. *An Introduction To Knot Theory*, str. 36. Są ciekawsze rzeczy do powiedzenia.



Figure 4: Link Whitehead'a nie jest rozszczepialny, ale jest alternujący.



Na pierwszych zajęciach dowiedzieliśmy się, że nietrywialny węzeł K jest pierwszy (ang. *prime*), jeśli nie jest sumą spójną dwóch nietrywialnych węzłów. Moglibyśmy powiedzieć, że każda kula $S^2 \subseteq S^3 \setminus K$ przecinająca węzeł K w dwóch punktach dzieli S^3 na dwa fragmenty, z czego jeden posiada "trywialny łuczek", tj. łuczek który bez problemu możemy rozsupłać przy pomocy ruchów Reidemeistera. W podobny sposób możemy przenieść definicję pierwszości na linki i ich diagramy.

Definicja : link i diagram pierwszy.

Link $L \subseteq S^3$, różny od linku (i węzła) trywialnego, jest **pierwszy**, jeśli każda sfera S^2 przecinająca go w dwóch punktach dzieli S^3 na dwa fragmenty, z których jeden zawiera jeden trywialny łuczek L .

Diagram $D \subseteq S^2$ **jest pierwszy**, jeśli każda prosta krzywa zamknięta w S^2 przecinająca D w dwóch punktach zawiera w swoim wnętrzu lub na zewnątrz diagram odpowiadający rozwiązywalnemu łuczkiowi. Takie D jest **silnie pierwszy**, jeśli zawsze po takim rozcięciu znajdziemy diagram z zerową liczbą skrzyżowań.

Tutaj warto zauważyć, że jedynym linkiem, który jest jednocześnie pierwszy i rozszczepiony jest link trywialny O .

Kolejne twierdzenie, na którego dowód musimy troszkę poczekać, które pozwala nam badać pierwszość linków alternujących przez pryzmat ich diagramów.

Twierdzenie .

Założmy, że L jest linkiem o alternującym diagramie D . Wtedy L jest linkiem pierwszym $\iff D$ jest diagramem pierwszym.

Dowód

Tak jak i wcześniej, odsyłam do książki pana Lickorisha.



Po co nam to wszystko? Czyli o jeżach (między innymi)

Zacznijmy od szybkiej informacji co to znaczy być powierzchnią. Oczywiście mówiąc powierzchnia mamy na myśli 2-rozmaitość, czyli przestrzeń której każdy punkt ma otoczenie homeomorficzne z otwartym podzbiorem \mathbb{R}^2 . Zamkniętych powierzchni nie ma bardzo dużo i każda taka powierzchnia jest wymieniona niżej

1. sfera S^2
2. suma spójna n torusów \mathbb{T}^2
3. suma spójna n płaszczyzn rzutowych $\mathbb{R}P^2$

Poza tym jest m.in. wstęga Möbiusa (nieorientowalna, z brzegiem).

Zadanie 2.

Sprawdź, że butelka Kleina to suma spójna dwóch kopii $\mathbb{R}P^2$.

Powiemy teraz, co to znaczy, że powierzchnia $F \subseteq M$, gdzie M jest 3-rozmaitością, jest niekompresowalna. Przy okazji dowiemy się, co to znaczy być dyskiem rozpinającym powierzchnię.

Definicja : powierzchnia niekompresowalna.

Niech F będzie powierzchnią różną od S^2 zanurzoną w 3-rozmaitość M . Powiemy, że F jest **niekompresowalna**, jeśli każdy dysk $\Delta \subseteq M$ taki, że $\Delta \cap F = \partial\Delta$ (tzn. Δ rozpinają powierzchnię F) ogranicza dysk w F (patrz fig. 5).

Sfera S^2 jest niekompresowalna, jeśli nie ogranicza D^3 w M .

Fakt .

Niech L będzie nierozszczepialnym, pierwszym i alternującym linkiem, a F niech będzie zamkniętą niekompresowalną powierzchnią w $S^3 \setminus L$. Wówczas istnieje dysk Δ rozpinający F w S^3 , który przecina L w dokładnie jednym punkcie.

Żeby to zobaczyć, trzeba wyobrazić sobie **najeżenie węża/linku L** , czyli jego otoczenie tubularne (zamiast nitki mamy sznurek bawełniany o średnicy 5mm). Takich otoczeń mamy dużo, dla każdego $\varepsilon > 0$. Możemy więc wybierać otoczenia U_n o średnicy $\frac{1}{n}$. Kiedy wyjmujemy z S^3 węzeł K duża część U_n zostaje, więc możemy wybierać duszczki Δ_n , które mają przekrój z otoczeniem U_n o średnicy $\frac{1}{n}$ na wysokości tylko jednego segmentu. Granica tych dyszczków nie jest już w $S^3 \setminus L$, bo zahacza o otoczenie średnicy 0, tzn. przecina się z węzłem L w jednym punkcie.

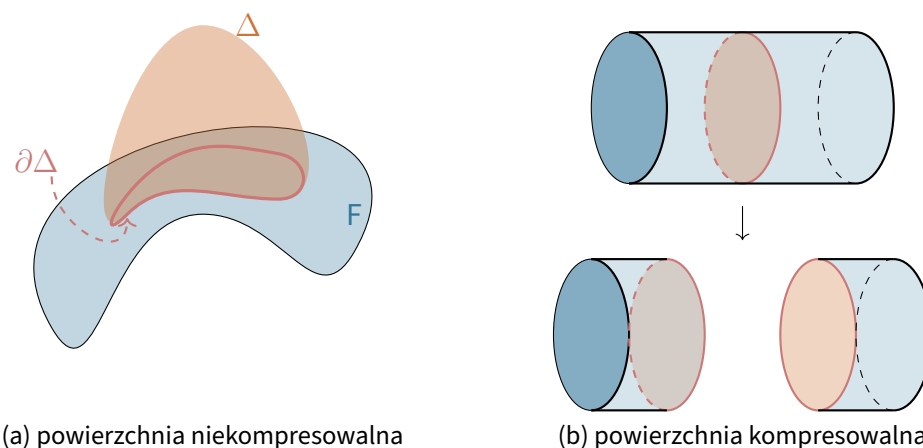


Figure 5: Powierzchnię (b) możemy rozciąć wzdłuż $\partial\Delta$ i zakleić dwoma kopiami Δ , by dostać dwie "zakrętki" - powierzchnie o prostszej strukturze niż powierzchnia oryginalna. Jest tak, ponieważ otoczenie tubularne Δ ma ciekawy przekrój z F . W przypadku powierzchni (a) otoczenie tubularne Δ daje po prostu annulus na F .

Fakt .

Niech L będzie nierozszczepialnym, pierwszym i alternującym linkiem. Każdy niekompresowalny torus T zawarty w $S^3 \setminus L$ jest równoległy do granicy najeżenia pewnego komponentu L .

Na przykład dla L będącego linkiem o jednym elemencie, zawierającym tylko węzeł 3_1 , torusem równoległym do granicy jego najeżenia jest powierzchnia widoczna na fig. 6. Tak się składa, że link wyżej jest linkiem trywialnym, nierozszczepialnym i alternującym, więc tylko torus zawierające L w swoim środku są niekompresowalne.

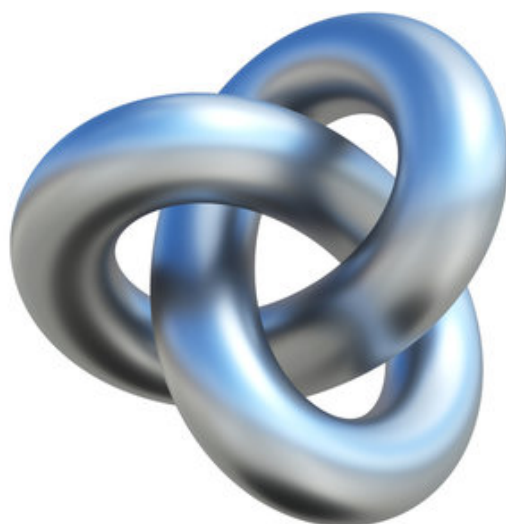


Figure 6: Najeżenie węzła 3_1 .

Może nas to interesować, gdyż 3-rozmaitości M , w których wszystkie niekompresowalne torusy są granicami najeżenia pewnego linku, zwykle posiadają strukturę hiperboliczną (pisał o tym pan W. P.

Thurston i po przepisaniu do \LaTeX wyszło 379 stron pdf, który można znaleźć tutaj). Hiperboliczność 3-rozmaitości definiujemy przy pomocy metryki riemannowskiej i krzywizn, ale można to uprościć do stwierdzenia, że hiperboliczność oznacza brak materiału (sformułowanie ukradzione A. Karolakowi), czyli m.in. trójkąciaki wtedy mają kąty sumujące się do mniej niż π .

Definicja : sfera Conwaya.

Dla linku $L \subseteq S^3$ 2-sferę Σ (tzn. $\Sigma = S^2$), która przecina L w 4 punktach nazywamy **sferą Conwaya**, jeśli

1. $\Sigma \setminus L$ jest niekompresowalne w $S^3 \setminus L$
2. każde $S^2 \subseteq S^3 \setminus \Sigma$ przecinające L w dwóch punktach odcina niezawiązany segment L .

Tutaj moglibyśmy temat drążyć dalej, ale niestety pojawia się następujący fragment tekstu w Lickorishu

They [Bonahon and Siebenmann] show that for any knot that is not a satellite, there is a well-defined maximal collection of Conway spheres that divides the knot into an arborescent part and a part in which any Conway sphere is pairwise parallel to a boundary component.

po przeczytaniu którego autor tej notatki postanowił ograniczyć się do wklejenia przykładu sfery Conwaya w fig. 7, zaczerpniętego z wikipedii

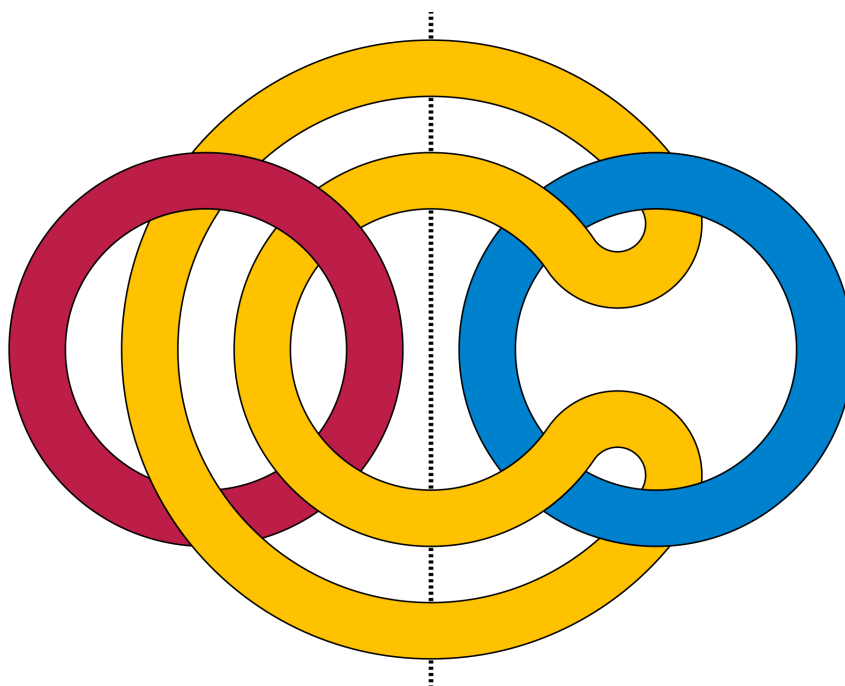


Figure 7: Przerywana linia to sfera Conwaya dla L = pierścienie boromejskie.

Stany diagramu

Tydzień temu przypisywaliśmy skrzyżowaniom wartość ± 1 . Dzisiaj nazwiemy taką właśnie funkcję $s : [n] \rightarrow \{1, -1\}$, gdzie n to ilość skrzyżowań badanego diagramu linku D .

Definicja .

Niech D będzie diagramem linku L o n skrzyżowaniach. Funkcję $s : \{1, \dots, n\} \rightarrow \{1, -1\}$ nazywamy **stanem** diagramu D .

Stanów jest 2^n , ale spośród nich wyróżniają się dwa konkretne: s_+ i s_- , przypisujące odpowiednio 1 i -1 wszystkim skrzyżowaniom.

Mając dany stan s i diagram D możemy określić nowy diagram sD , który przypisuje i -temu skrzyżowaniu odpowiednie jego odkrzyżowanie, w zależności od wartości $s(i)$ w sposób zdefiniowany na fig. 8.

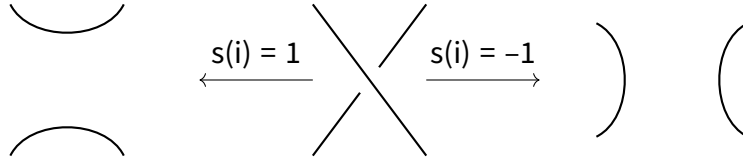


Figure 8: Zasada zamiany skrzyżowań w sD .

Wynikowy diagram sD nie posiada skrzyżowań (wszystkie wycięliśmy), ale posiada $|sD|$ zamkniętych krzywych.

Teraz możemy zdefiniować, w dość bolesny sposób, **nawias Kauffmanna** przy pomocy stanów diagramu D :

$$\langle D \rangle = \sum_s \left[A^{\sum_{i \geq 1} s(i)} (-A^{-2} - A^2)^{|sD|-1} \right]. \quad (*)$$

Zauważmy, że jest to dokładnie to samo, co pisaliśmy tydzień temu, z tym że tym razem nie wykorzystujemy rekurencji.

Fakt .

Wzór $(*)$ jest naprawdę nawiasem Kauffmanna sprzed tygodnia.

Dowód

Oznaczając wartość $(*)$ przez $[D]$ mamy do pokazania 3 kroki

1. $[O] = 1$
2. $[D \sqcup O] = (-A^{-2} - A^2)[D]$
3. $[\times] = A^{-1}[\cup] + A[\cap]$

(1) wychodzi od razu z faktu, że O ma dokładnie jeden stan pusty, czyli $\sum_{i \geq 1} s(i) = 0$ i $|sO| = 1$. Równość numer (2) wynika z faktu, że $D \sqcup O$ na D zachowuje się dokładnie tak samo jak D , ale z racji O dochodzi jedna krzywa zamknięta. Stąd

$$[D \sqcup O] = \sum_s \left[A^{\sum_{i \geq 1} s(i)} (-A^{-2} - A^2)^{|sD|+1-1} \right] = \sum_s \left[A^{\sum_{i \geq 1} s(i)} (-A^{-2} - A^2)^{|sD|-1} \right] (-A^{-2} - A^2).$$

Punkt (3) oznacza, że usunięcie skrzyżowania na dwa sposoby pozwala nam obliczyć $[D]$ oryginalnego diagramu. Niech więc x będzie wybranym skrzyżowaniem diagramu. Dla uproszczenia, oryginalny diagram będziemy oznaczać \times , a dwa sposoby usunięcia tego skrzyżowania przez przypisanie mu -1 i $+1$ oznaczmy odpowiednio \cup i \cap .

Zaczynamy od obserwacji, że \cap odpowiada stanom s diagramu D , w których skrzyżowanie x ma przypisaną wartość $+1$ z tym, że suma wartości tych stanów diagramu \cap jest o jeden mniejsza

(równa zero na x). Stąd

$$\begin{aligned} A[\bowtie] &= A \sum_{s(x)=1} (-A^2 - A^{-2})^{|s\bowtie|-1} A^{|s|-1} = \\ &= (-A^2 - A^{-2})A \end{aligned}$$

Natomiast \lrcorner (to diagram odpowiadający stanom s diagramu D , w których skrzyżowanie x ma przypisaną wartość -1 , ale suma wartości stanu jest o jeden większa (równa zero na x). Czyli

$$\begin{aligned} A^{-1}[\lrcorner] &= A^{-1} \sum_{s(x)=-1} (-A^2 - A^{-2})^{|s\lrcorner|-1} A^{|s|+1} = \\ &= (-A^2 - A^{-2})A. \end{aligned}$$

Dodajemy wszystko by otrzymać $[\bowtie]$.



Wprowadźmy teraz kolejne pojęcie dotyczące diagramów, tj. ich fajności (po angielsku nazywamy to *adequate*, ale wydaje mi się to dojsć niemiłym określeniem diagramów, które naprawdę się starają).

Definicja : diagram fajny.

Powiemy, że diagram D jest **fajny**, jeśli dla wszystkich stanów s takich, że $\sum_{i \geq 1} s(i) = \pm(n-2)$ zachodzi $|s_{-D}| > |s_D|$ i $|s_{+D}| > |s_D|$. Jeśli tylko jedna nierówność to jest on odpowiednio – lub + fajny.

Po co nam to wszystko? Okazuje się, że najmniejsze diagramy alternujące są zawsze fajne c:

Fakt .

Zredukowany diagram alternujący D jest zawsze fajny.

Dowód

Pomalujmy wnętrze diagramu na niebiesko i pomarańczowo naprzemiennie, jak np. widać na fig. 9 (a). Ponieważ węzeł jest alternujący, to wiemy, że s_{+D} zachowa tylko fragmenty pomalowane na jeden kolor, np. czerwony jak na rysunku niżej. Z kolei s_{-D} otrzyma tylko potacie niebieskie. Dzięki brakowi zbędnych krawędzi nie będziemy mieli dwóch fragmentów, które zleją się w jedno, jak np. na fig. 9 (b) po rozcięciu zaznaczonym na czerwono.

Zamieniając dwa skrzyżowania na przeciwną wartość s połączymy dwa lub więcej fragmenty różnego koloru w jeden, więc dostaniemy ich zawsze mniej niż w przypadku gdy wszystkie skrzyżowania miały tę samą wartość s .



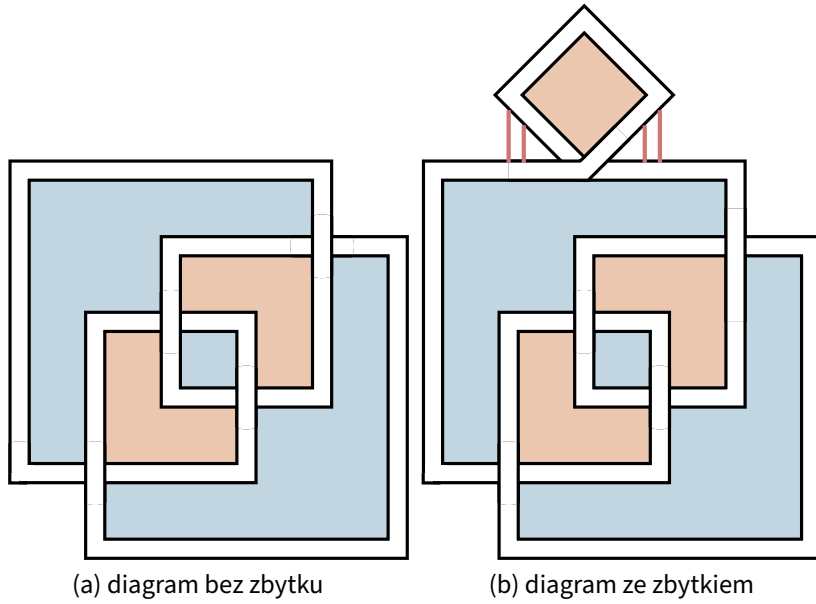


Figure 9: Pomalowany diagram (węzła 4_1).

Fakt .

Niech D będzie nierozszczepionym diagramem o n skrzyżowaniach. Wówczas

$$|s_+D| + |s_-D| \leq n + 2,$$

z równością jeśli D jest zredukowanym diagramem alternującym.

Dowód

Indukcja po ilości skrzyżowań n . Oczywiście dla $n = 0$ mamy $LHS = 2 \leq 2 = RHS$.

Bierzemy teraz diagram D o $(n + 1)$ skrzyżowaniach i wybieramy jedno skrzyżowanie, którego usunięcie nie spowoduje rozszczepienia diagramu. Możemy to zrobić na $+1$ lub -1 sposób i jeśli jeden z nich rozszczepia diagram, to drugi już tego nie robi.

Powstaje w ten sposób nowy diagram D' o n skrzyżowaniach. Założmy, że usunęliśmy skrzyżowanie na sposób $+1$, czyli s_+D' wygląda tak samo jak s_+D . Stąd $|s_+D'| = |s_+D|$. W takim razie stan s_-D' traci lub zyskuje jeden łuczek. Stąd $|s_-D'| = |s_-D| \pm 1$. W takim razie z założenia indukcyjnego mamy

$$|s_+D| + |s_-D| = |s_+D'| + |s_-D'| \pm 1 \leq (n + 2) \pm 1 \leq n + 3.$$

W zredukowanym diagramie alternującym wystarczy zauważyć, że wycięcie skrzyżowania łączy dwa fragmenty jednego koloru.



W końcu wielomiany!

Zacniemy od zdefiniowania dwóch wartości zależnych od linku diagramu D : $M\langle D \rangle$ oraz $m\langle D \rangle$. Pierwsza z nich to maksymalna potęga wielomianu Jonesa, a druga - potęga minimalna. Oczywiście, jeśli węzeł jest swoim odbiciem lustrzanym, to $M\langle D \rangle = -m\langle D \rangle$.

Okazuje się, że wartości wyżej mają swoje odniesienie na stany węzła:

Fakt .

Niech D będzie diagramem o n skrzyżowaniach. Wówczas

1. $M\langle D \rangle \leq n + 2|s_+D| - 2$
2. $m\langle D \rangle \geq -n - 2|s_-D| + 2$

z równością gdy D jest alternującym, zredukowanym diagramem.

Dowód

Dla dowolnego stanu s oznaczmy $\langle D|s \rangle = (-A^{-2} - A^2)^{|sD|-1} A^{\sum s(i)}$. Wtedy mamy

$$\langle D \rangle = \sum_s \langle D|s \rangle$$

Mamy $M\langle D|s \rangle = 2|sD| - 2 + \sum s(i)$, w szczególności dla $s = s_+$ mamy interesującą nas wartość. Wystarczy pokazać, że dla każdego innego stanu s mamy $M\langle D|s \rangle \leq M\langle D|s_+ \rangle$.

Weźmy więc dowolny stan $s \neq s_+$. Ma on k znaków -1 , możemy więc znaleźć ciąg $s_0 = s, \dots, s_k = s_+$, gdzie w każdym kroku zmieniamy jeden $+1$ na -1 . Oczywiście, dla każdego j mamy

$$\sum s_{j+1}(i) = \sum s_j(i) + 2,$$

gdyż po zmianie $+1$ na -1 tracimy zerując nam się dwa $+1$.

Z kolei $|s_{j+1}D| \pm 1 = |s_jD|$ na podobnej zasadzie jak już wcześniej obserwowaliśmy. Z tego powodu

$$M\langle D|s_{j+1} \rangle = 2|s_{j+1}D| - 2 + \sum s_{j+1}(i) = 2|s_jD| \pm 2 - 2 + \sum s_j(i) + 2 \geq 2|s_jD| - 2 + \sum s_j(i) = M\langle D|s_j \rangle.$$

Równość oczywiście zajdzie, jeśli nie będziemy w stanie nigdy mieć dwóch wyrazów z $M\langle D|s_+ \rangle$ z przeciwnym znakiem w sumie, tzn. kiedy dla wszystkich stanów $s \neq s_+$ mamy $M\langle D|s \rangle < M\langle D|s_+ \rangle$. Wystarczy tutaj zauważyć, że jeśli zmienimy wartość jednego skrzyżowania, to zlejemy w całość dwa fragmenty niebieskie na fig. 9.

Argument dla drugiej nierówności jest symetryczny.



Dla wielomianu w oznaczmy $\text{span}(w) = Mw - mw$, tzn. różnica najwyższej i najniższej potęgi w nim występującej. Okazuje się, że jest połączenie między $\text{span}(V(L))$ a diagramami tego linku.

Twierdzenie .

Niech D będzie diagramem linku L o n skrzyżowaniach. Wówczas

$$\text{span}(V(L)) \leq n.$$

Ponadto, jeśli D jest zredukowanym diagramem alternującym to mamy równość.

Dowód

Skorzystamy z definicji wielomianu Jonesa, która pojawiła się dawno, dawno temu bo przed tygodniem:

$$V(L) = (-A)^{-3w(D)} \langle D \rangle.$$

Wtedy jeśli podstawimy $t = A^{-4}$, to dostaniemy

$$4\text{span}(V(L)) = \text{span}(\langle D \rangle) = M\langle D \rangle - m\langle D \rangle$$

Korzystając z poprzedniego faktu dostajemy nierówność

$$M\langle D \rangle - m\langle D \rangle \leq n + 2|s_+D| - 2 - (-n - 2|s_-D| + 2) = 2(n + |s_+D| + |s_-D| - 2)$$

Wiemy też, że $|s_+D| + |s_-D| \leq n + 2$, czyli kolejna nierówność daje nam

$$M\langle D \rangle - m\langle D \rangle \leq 2(n + |s_+D| + |s_-D| - 2) \leq 2(n + n + 2 - 2) = 4n$$

czyli mamy co chcieliśmy: $\text{span}(V(L)) \leq n$.

Równość dla diagramu alternującego wynika z równości dla takich diagramów w nierównościach użytych po drodze.



Po dokonaniu dowodu wyżej od razu dostajemy dowód pierwszego z założeń Taita - wielomian Jonesa jest niezmiennikiem, a dla zredukowanego alternującego diagramu musi w takim razie zajść równość między $\text{span}(V(L))$ a ilością skrzyżowań w tym diagramie.

Węzeł 8_{19} , który pokazywaliśmy już wyżej na fig. 1, ma wielomian Jonesa

$$-t^8 + t^5 + t^3.$$

To znaczy, że $\text{span}(8_{19}) = 5 < 8$. Dokładnie przeglądając węzły o co najwyżej 5 skrzyżowaniach zobaczymy, że żaden nie dzieli z 8_{19} wielomianu Jonesa. Stąd, 8_{19} nie ma zredukowanego diagramu alternującego, a więc nie ma ani jednego diagramu alternującego.

Zadanie 3.

Podaj przykład diagramu o n skrzyżowań, dla którego $M\langle D \rangle - m\langle D \rangle = 0$.

